

## *Konstruktion des Voronoi-Diagramms*

Untere Schranke für den Zeitaufwand:

für  $n$ -elementige Punktmenge jedenfalls  $\Omega(n \log n)$ , da mit VD die konvexe Hülle in linearer Zeit bestimmbar.

Wenn man die  $n$  Punkte nach einer Koordinate sortiert hat, lässt sich die konvexe Hülle anschließend in linearer Zeit konstruieren

Das Voronoi-Diagramm ist "schwieriger":

Satz:

Angenommen, die  $n$  Punkte in  $S$  sind bereits nach aufsteigenden  $x$ -Koordinaten sortiert. Dann erfordert die Konstruktion des Voronoi-Diagramms von  $S$  immer noch  $\Omega(n \log n)$  Zeit.

Beweis: s. Klein 1997, S. 270 f.

Naives Verfahren:

jede der  $n$  Voronoi-Regionen als Schnitt von  $n-1$  Halbebenen berechnen

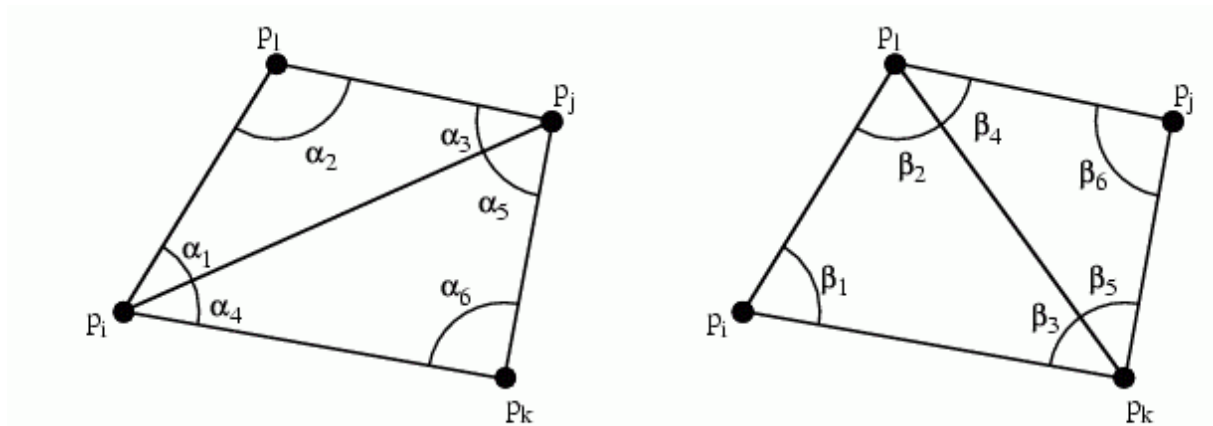
⇒ jede Region in Zeit  $O(n^2)$ , oder effizienter in Zeit  $O(n \log n)$

⇒ gesamtes VD in Zeit  $O(n^3)$  bzw.  $O(n^2 \log n)$

Wenn Delaunay-Triangulierung vorhanden, VD in Zeit  $O(n)$  konstruierbar (und umgekehrt): Konstruktion des dualen Graphen

erstes effizienteres Verfahren konstruiert die Delaunay-Triangulierung, und zwar inkrementell (Hinzufügen von Punkten zu  $S$ )

dazu zunächst Benennungen:



- Kante  $e = \overline{p_i p_j}$  heißt eine *unzulässige Kante*, falls
 
$$\min_{1 \leq i \leq 6} \alpha_i < \min_{1 \leq i \leq 6} \beta_i$$
- Kante unzulässig, falls lokal Vergrößerung des kleinsten Winkels durch Flippen dieser Kante

(Hinrichs 2002)

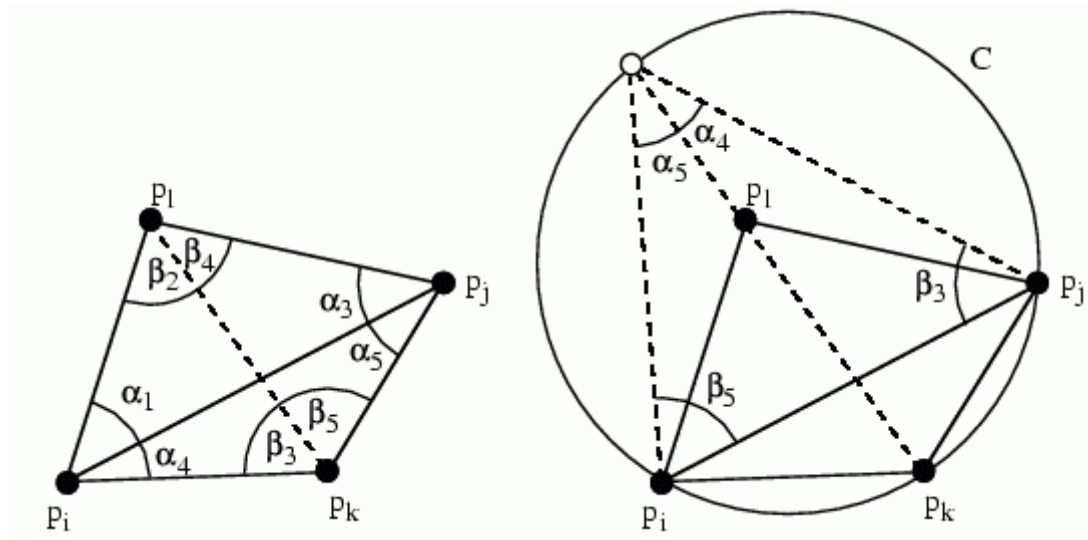
man nennt dies auch einen "Lawson-Flip".

Die DT ist dadurch charakterisiert, dass alle Kanten zulässig sind.

- Es ist nicht notwendig,  $\alpha_1, \dots, \alpha_6, \beta_1, \dots, \beta_6$  zu berechnen, um zu überprüfen, ob eine Kante zulässig ist  $\Rightarrow$   
Kriterium zur Überprüfung:

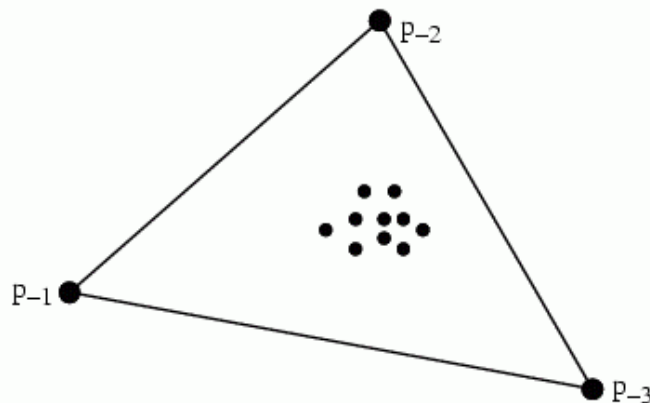
Die Kante  $\overline{p_i p_j}$  sei inzident zu den Dreiecken  $p_i p_j p_k$  und  $p_i p_j p_l$ , und  $C$  sei der Kreis durch  $p_i, p_j$  und  $p_k$ . Die Kante  $\overline{p_i p_j}$  ist unzulässig genau dann, wenn der Punkt  $p_l$  im Innern von  $C$  liegt. Bilden die Punkte  $p_i, p_j, p_k$  und  $p_l$  ein konvexes Viereck und liegen sie nicht auf einem gemeinsamen Kreis, so ist entweder  $\overline{p_i p_j}$  oder  $\overline{p_k p_l}$  eine unzulässige Kante.

(Beweis s. Hinrichs 2002)



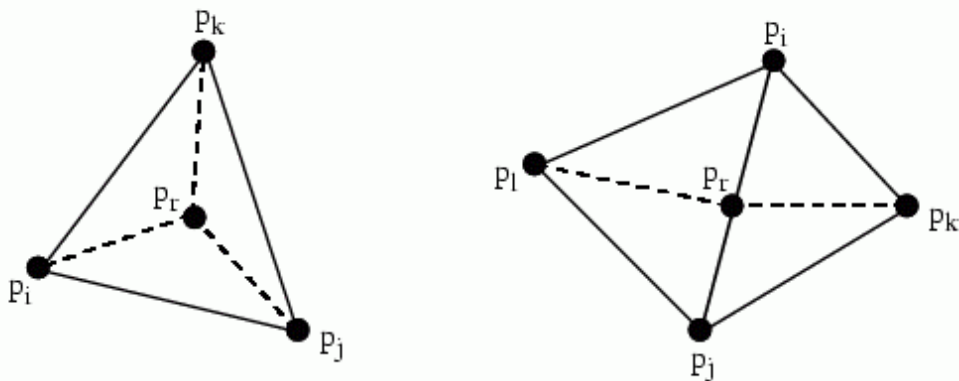
Randomisierter, inkrementeller Algorithmus zur Berechnung der DT (nach Hinrichs 2002):

- Beginne mit einem großen, die Punktmenge  $S$  enthaltenden Dreieck  $p_{-1}p_{-2}p_{-3}$  und berechne die Delaunay-Triangulierung von  $\Omega \cup S$ , wobei  $\Omega := \{p_{-1}, p_{-2}, p_{-3}\}$ :



- Nach Berechnung der Delaunay-Triangulierung von  $\Omega \cup S$  werden  $p_{-1}$ ,  $p_{-2}$ ,  $p_{-3}$  mit allen inzidenten Kanten entfernt  $\rightarrow$   $p_{-1}$ ,  $p_{-2}$ ,  $p_{-3}$  müssen weit genug entfernt von den Punkten aus  $S$  gewählt werden, damit sie keine Dreiecke in der Delaunay-Triangulierung von  $S$  zerstören. Insbesondere dürfen sie nicht innerhalb eines durch drei Punkte aus  $S$  definierten Kreises liegen.
- Algorithmus fügt Punkte in einer Zufallsreihenfolge ein und erhält eine Delaunay-Triangulierung der gegenwärtigen Punktmenge aufrecht.

- Hinzufügen des Punktes  $p_r$ :
  - Bestimme zunächst das Dreieck der gegenwärtigen Triangulierung, das den Punkt  $p_r$  enthält, und füge Kanten von  $p_r$  zu den Eckpunkten dieses Dreiecks ein.
  - Liegt  $p_r$  auf einer Kante  $e$  der Triangulierung, so füge Kanten von  $p_r$  zu den der Kante  $e$  gegenüberliegenden Eckpunkten der beiden in  $e$  aneinandergrenzenden Dreiecke ein:



→ Resultierende Triangulierung ist aber nicht notwendigerweise eine Delaunay-Triangulierung, da durch Hinzufügen von  $p_r$  einige der existierenden Kanten unzulässig werden können.

- Behebung des Problems durch Aufruf einer Prozedur *LegalizeEdge* für jede potentiell unzulässige Kante: *LegalizeEdge* ersetzt mit Hilfe von Kantenflips unzulässige Kanten durch zulässige.

## Top-Down-Beschreibung des Algorithmus

(hier keine Behandlung von Spezialfällen wie den Rand-Kanten; s. dazu Hinrichs 2002) :

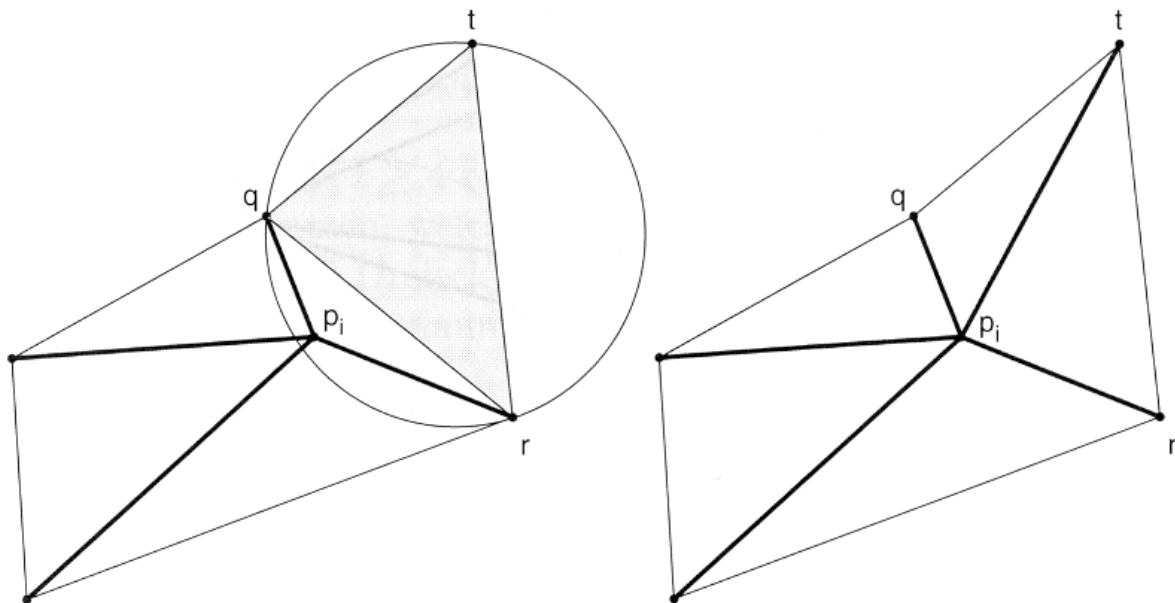
### *DelaunayTriangulation(S)*

Eingabe: Eine Menge  $S$  von  $n$  Punkten in der Ebene.

Ausgabe: Eine Delaunay-Triangulierung von  $S$ .

1. Seien  $p_{-1}$ ,  $p_{-2}$  und  $p_{-3}$  drei passende Punkte, so daß  $S$  im Dreieck  $p_{-1}p_{-2}p_{-3}$  enthalten ist.
2. Initialisiere  $\mathcal{T}$  als die Triangulierung, die aus dem einzelnen Dreieck  $p_{-1}p_{-2}p_{-3}$  besteht.
3. Bestimme eine Zufallspermutation  $p_1, p_2, \dots, p_n$  der Elemente von  $S$ .
4. for  $r := 1$  to  $n$  do
5.     Finde das Dreieck  $p_i p_j p_k \in \mathcal{T}$ , das  $p_r$  enthält.
6.     if  $p_r$  liegt im Inneren des Dreiecks  $p_i p_j p_k$  then
7.         Füge Kanten von  $p_r$  zu den Eckpunkten des Dreiecks  $p_i p_j p_k$  ein  $\Rightarrow$  Aufteilung von  $p_i p_j p_k$  in drei Dreiecke.
8.         *LegalizeEdge*( $p_r, \overline{p_i p_j}, \mathcal{T}$ )
9.         *LegalizeEdge*( $p_r, \overline{p_j p_k}, \mathcal{T}$ )
10.         *LegalizeEdge*( $p_r, \overline{p_k p_i}, \mathcal{T}$ )
11.     else  $\{p_r$  liegt auf einer Kante von  $p_i p_j p_k$ , z.B. auf  $\overline{p_i p_j}\}$
12.         Füge Kanten von  $p_r$  zu  $p_k$  und dem dritten Eckpunkt  $p_l$  des anderen an  $\overline{p_i p_j}$  angrenzenden Dreiecks ein, wodurch die beiden an  $\overline{p_i p_j}$  angrenzenden Dreiecke in vier Dreiecke aufgeteilt werden.
13.         *LegalizeEdge*( $p_r, \overline{p_i p_l}, \mathcal{T}$ )
14.         *LegalizeEdge*( $p_r, \overline{p_i p_j}, \mathcal{T}$ )
15.         *LegalizeEdge*( $p_r, \overline{p_j p_k}, \mathcal{T}$ )
16.         *LegalizeEdge*( $p_r, \overline{p_k p_i}, \mathcal{T}$ )
17. Entferne  $p_{-1}, p_{-2}, p_{-3}$  mit allen ihren inzidenten Kanten aus  $\mathcal{T}$ .
18. return  $\mathcal{T}$

- Welche Kanten können durch das Einfügen von Punkt  $p_r$  unzulässig werden?
- Beobachtung: Zuvor zulässige Kante  $\overline{p_i p_j}$  kann durch Einfügen von  $p_r$  unzulässig werden, falls eines der beiden zu  $\overline{p_i p_j}$  inzidenten Dreiecke sich ändert.  
 ⇒ Nur die Kanten neuer Dreiecke müssen überprüft werden.
- Überprüfung durch Prozedur *LegalizeEdge*, die Kanten testet und möglicherweise Kantenflips durchführt. Nach einem Kantenflip können andere Kanten unzulässig werden → *LegalizeEdge* ruft sich rekursiv für solch potentiell unzulässigen Kanten auf.



Solange der Umkreis eines angrenzenden Dreiecks den neuen Punkt enthält, werden *edge flips* ausgeführt

*LegalizeEdge*( $p_r, \overline{p_i p_j}, \mathcal{T}$ )

$p_r$  ist der eingefügte Punkt und  $\overline{p_i p_j}$  ist die Kante von  $\mathcal{T}$ , die eventuell geflippt werden muß.

1. if  $\overline{p_i p_j}$  ist unzulässig then
2. Sei  $p_r p_i p_k$  das zu  $p_r p_i p_j$  entlang  $\overline{p_i p_j}$  benachbarte Dreieck.
3. Flippe  $\overline{p_i p_j}$ , d.h. ersetze  $\overline{p_i p_j}$  durch  $\overline{p_i p_k}$ .
4. *LegalizeEdge*( $p_r, \overline{p_i p_k}, \mathcal{T}$ )
5. *LegalizeEdge*( $p_r, \overline{p_k p_j}, \mathcal{T}$ )

- Algorithmus ist korrekt, da jede unzulässig gewordene Kante getestet wird:
  - Jede neue Kante  $e$  ist zulässig und muß daher nicht mehr getestet werden.
  - Eine Kante kann nur durch Änderung eines der inzidenten Dreiecke unzulässig werden.
- Algorithmus terminiert, da in jeder Iteration der Winkelvektor größer wird und es nur endlich viele Triangulierungen von  $S$  gibt.

jede während des Algorithmus neu erzeugte Kante ist eine Kante der DT

Effizienz wird gesteigert durch geeignete *Datenstruktur*:

- Auffinden des den Punkt  $p_r$  enthaltenden Dreiecks durch eine Punktlokalisierungsstruktur  $\mathcal{D}$ , die parallel zur Delaunay-Triangulierung aufgebaut wird:
  - $\mathcal{D}$  ist ein gerichteter azyklischer Graph.
  - Die Blätter von  $\mathcal{D}$  entsprechen den Dreiecken der gegenwärtigen Triangulierung  $\mathcal{T}$ .
  - Jedes Blatt von  $\mathcal{D}$  wird durch einen Doppelzeiger mit dem entsprechenden Dreieck in  $\mathcal{T}$  verkettet.
  - Interne Knoten von  $\mathcal{D}$  entsprechen Dreiecken, die zu einem früheren Zeitpunkt in der Triangulierung enthalten waren, aber später zerstört wurden.
- Initialisierung von  $\mathcal{D}$  in Schritt 2 von *DelaunayTriangulation* mit einem einzelnen Blattknoten, der dem Dreieck  $p_{-1}p_{-2}p_{-3}$  entspricht.

- Aufteilung eines Dreiecks  $p_i p_j p_k$  in 3 (oder 2) neue Dreiecke nach Einfügen eines Punktes  $p_r$ :
  - Füge 3 (oder 2) neue Blätter der Suchstruktur  $\mathcal{D}$  hinzu.
  - Das dem Dreieck  $p_i p_j p_k$  entsprechende Blatt von  $\mathcal{D}$  wird zu einem internen Knoten mit Zeigern auf die 3 (oder 2) neuen Blätter.
- Bei einem Kantenflip werden zwei Dreiecke  $p_i p_j p_k$  und  $p_i p_j p_l$  durch die Dreiecke  $p_i p_k p_l$  und  $p_j p_k p_l$  ersetzt:
  - Erzeuge in  $\mathcal{D}$  Blätter für die neuen Dreiecke  $p_i p_k p_l$  und  $p_j p_k p_l$ .
  - Die den Dreiecken  $p_i p_j p_k$  und  $p_i p_j p_l$  entsprechenden Blätter werden zu internen Knoten mit jeweils 2 Zeigern auf die 2 neuen Blätter.

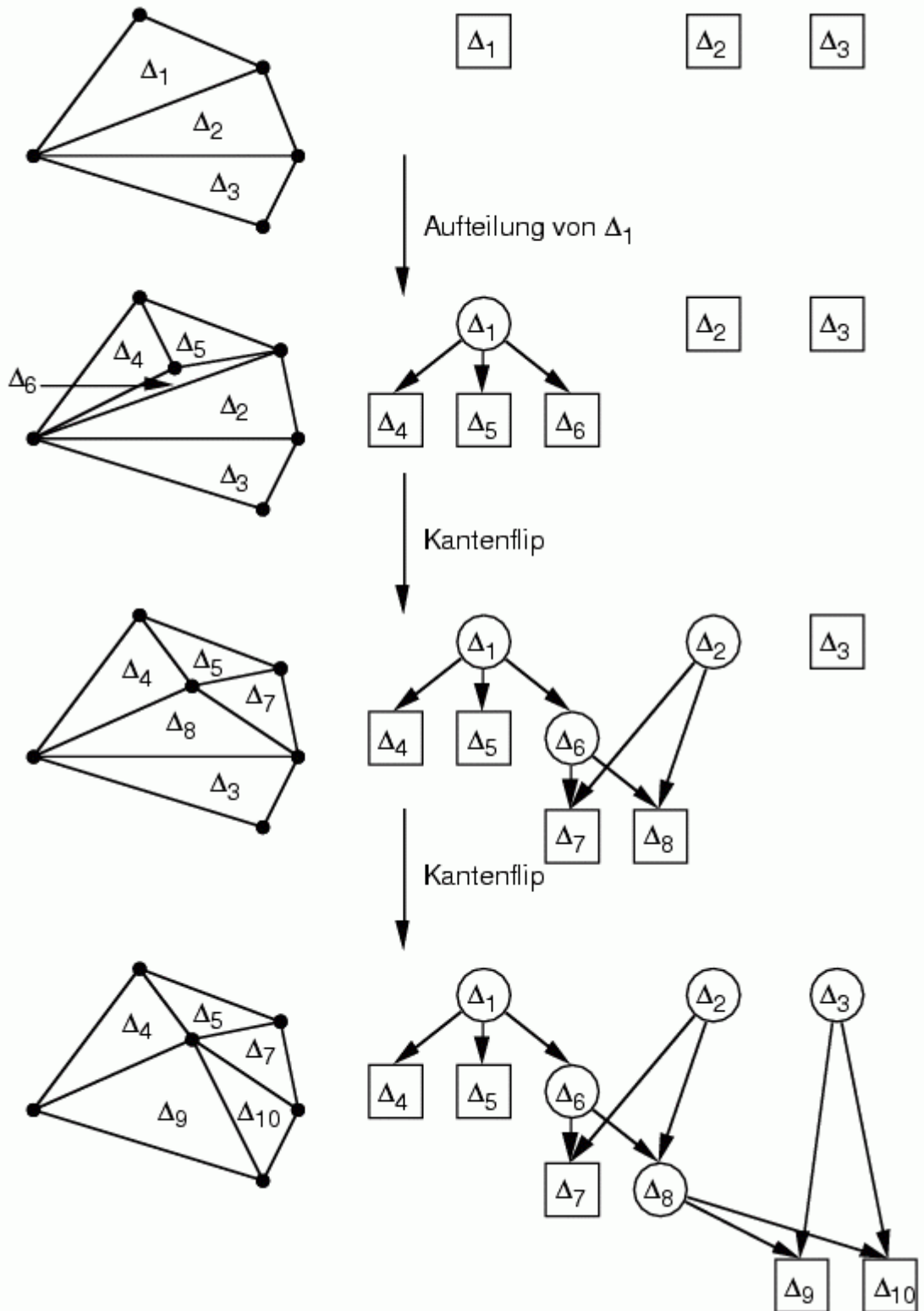
Die Datenstruktur heißt auch *History* oder *Delaunay-DAG* (directed acyclic graph).

Wenn diese Struktur vorliegt, ist der Suchaufwand beim Einfügen eines neuen Knotens linear zur Anzahl Knoten auf dem Suchpfad, also "niedrig":

- Lokalisierung des nächsten der Triangulierung hinzuzufügenden Punktes  $p_r$ :
  - Beginnend am Wurzelknoten von  $\mathcal{D}$ , der dem Dreieck  $p_{-1} p_{-2} p_{-3}$  entspricht, überprüfe die 3 Kinder der Wurzel, um festzustellen, in welchem Dreieck  $p_r$  liegt, und steige zu dem entsprechenden Kindknoten hinab.
  - Wiederhole den Vorgang mit den Kindern dieses Knotens usw., bis ein Blatt von  $\mathcal{D}$  erreicht wird. Dieses Blatt entspricht einem Dreieck in der gegenwärtigen Triangulierung.



Beispiel:



Man kann zeigen:

Die *erwartete* Anzahl der Dreiecke, die durch den Algorithmus erzeugt wird, beträgt höchstens  $9n + 1$ .

(Beweis: s. Hinrichs 2002)

Satz:

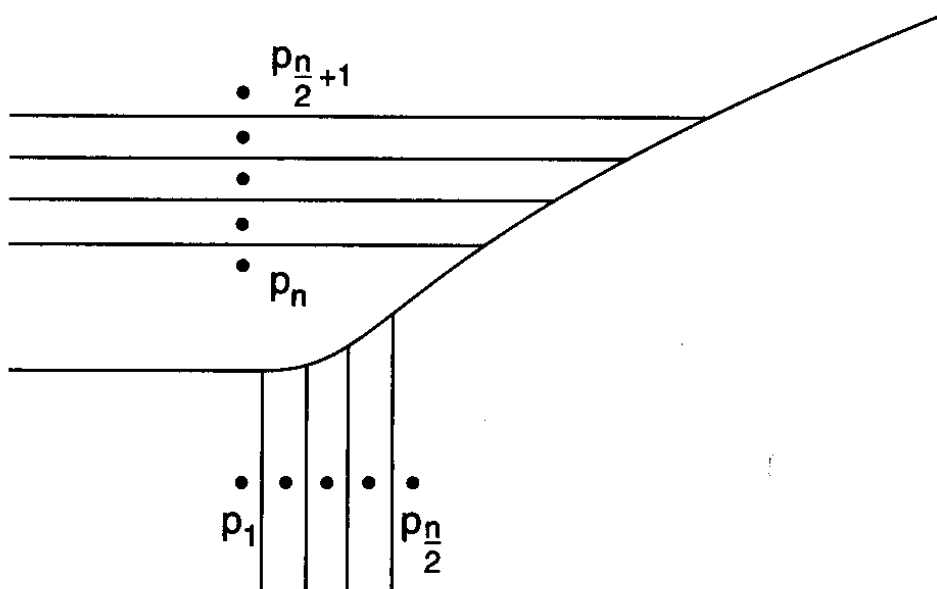
Algorithmus *DelaunayTriangulation* benötigt zur Berechnung einer Delaunay-Triangulierung einer Menge  $S$  von  $n$  Punkten in der Ebene  $O(n \cdot \log n)$  erwartete Zeit und hat einen erwarteten Speicherplatzbedarf von  $O(n)$ .

*Beweis:*

M. de Berg, M. van Kreveld, M. Overmars, O. Schwarzkopf:  
Computational Geometry: Algorithms and Applications,  
Abschnitt 9.4.

Jedoch: *worst case* - Verhalten ungünstiger

jedes inkrementelle Konstruktionsverfahren für das VD benötigt im ungünstigsten Fall  $\Omega(n^2)$  viele Schritte:

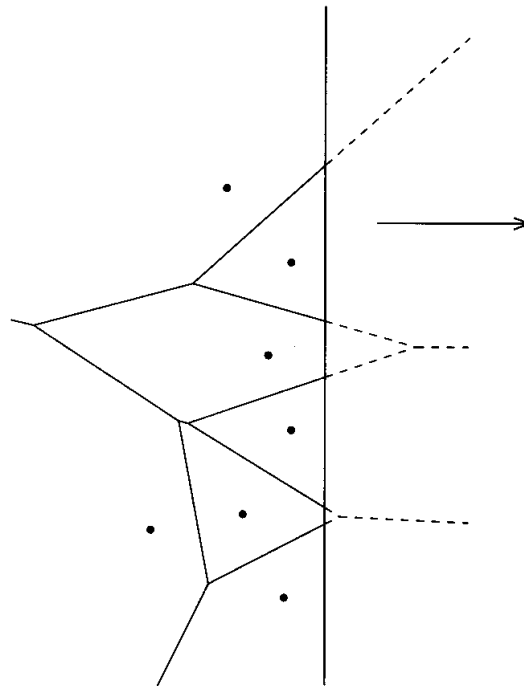


(Klein 1997)

Punkte auf  $x$ -Achse seien bereits eingefügt, Punkte auf  $y$ -Achse sollen von oben nach unten eingefügt werden  $\Rightarrow$  VR des jeweils letzten Punktes hat mit denen der unteren Punkte gem. Kanten, diese müssen alle wieder entfernt werden beim Neueinfügen.

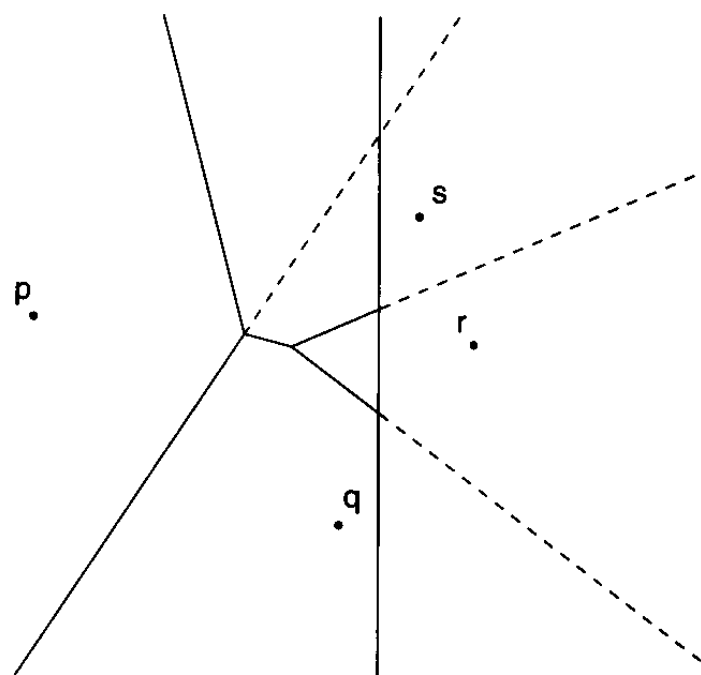
besseres Verfahren (auch im worst case):

*Sweep-Verfahren*



Idee: Bewege Sweep-line von links nach rechts über  $S$ ,  
berechne sukzessive  $VD(S)$

Problem:  $VR(p)$  beginnt schon vor Ort  $p$



### Beobachtung:

Es gibt ein Gebiet  $G$  links der Sweepline  $L$ ,  
für das das  $VD$  bereits festliegt:

$$G = \{v \in \mathbb{R}^2 : |\overline{vp}| \leq \text{Abstand}(v, L) \text{ für ein } p \in S\}$$

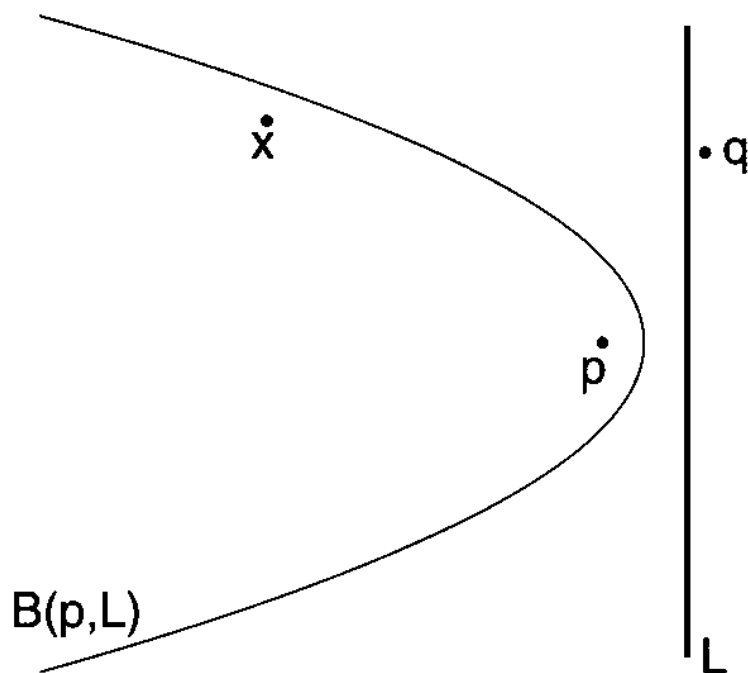
für  $S = \{p\}$ : Inneres der Parabel  $B(p, L)$ :

$$(p.x - v.x)^2 + (p.y - v.y)^2 \leq v.x - L.x$$

i.allg. wird  $G$  durch Folge  $W$  ("Wellenfront")

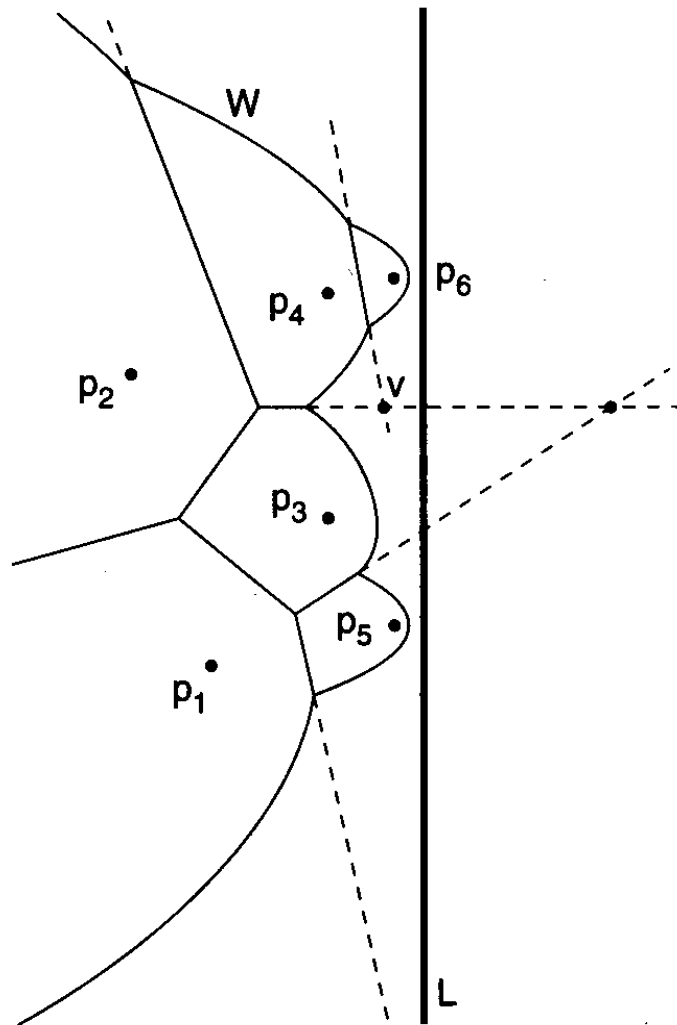
von Parabelbögen ("Wellenstücken")  $P(p, q, r)$  begrenzt

Kein Punkt rechts der Sweep-Geraden kann das Gebiet zur Linken der Parabel beeinflussen:



"Wellenfront"  $W$ :

Rand der Voronoi-Region der Geraden  $L$



Die Wellenfront wird manchmal auch "beach line" genannt (Gärtner 1996).

*aktive Punkte* = die Punkte  $q$  aus  $S$ , die gerade ein Wellenstück  $P(p, q, r)$  zu  $W$  beitragen

Beobachtung: Schnittpunkt zweier in  $W$  benachbarter Wellenstücke (z.B. Teile von  $B(p, L)$  und  $B(q, L)$ ) rückt längs des geraden Bisektors  $B(p, q)$  vor.

*Spike*  $s(p, q)$

= Verlängerung des Bisektors  $B(p, q)$  jenseits  $W$ ;  $p, q$  aktiv

Beobachtung: Schnittpunkte auf  $W$  benachbarter Spikes sind potentielle Voronoi-Knoten

→ als zukünftige Ereignisse vormerken

Beobachtung:  $W$  ist zusammenhängend und  $y$ -monoton

→ verwaltete Wellenfront in der  $Y$ -Struktur  $SSS$ ,

Wellenstücke  $P(p, q, r)$  nach  $y$ -Koordinaten geordnet

+ Verweise auf Spikes:

oberhalb  $P(p, q, r)$ :  $s(p, q)$ , unterhalb:  $s(q, r)$

Beobachtung:  $VR(L, S \cup \{L\})$  hat  $O(n)$  viele Ecken

→  $|W| = O(n)$

## Zwei Arten von Ereignissen:

### 1. site event: (Punkt-Ereignis)

Sweep-line  $L$  trifft neuen Punkt  $v$  aus  $S$

→ Bisektor  $B(v, L)$  zunächst degenerierte Parabel  $\overline{wv}$

mit  $w =$  Schnitt von  $W$  mit Horizontalgerade durch  $v$ ,

$\overline{wv}$  öffnet sich beim Fortschreiten von  $L$

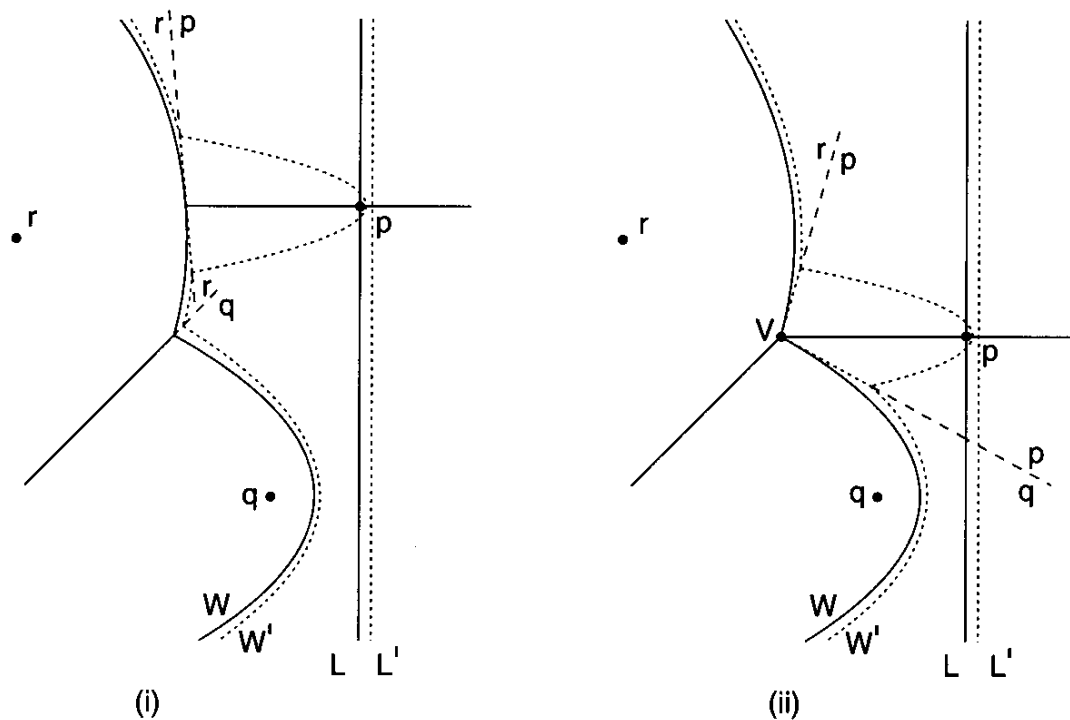
Sei  $q \in S$  (aktiver) Punkt mit  $w \in P(p, q, r) \subseteq W$ .

$P(p, q, r)$  aufspalten in  $P(p, q, v)$ ,  $P(q, v, q)$ ,  $P(v, q, r)$

Bei Fortschreiten von  $L$  über  $v$  hinweg

entstehen 2 neue Spikes  $s(q, v) = \overline{w'}$ ,  $s(v, q) = \overline{w''}$

aktualisiere Schnittpunkte benachbarter Spikes in  $ES$



Spezialfall:  $w$  liegt auf einem Spike  $s(p, q) = \overline{y}$ ?

→  $w$  ist Voronoiknoten. Ausgabe  $w, (y, w)$

neues Wellenstück  $P(p, v, q)$  einfügen,

es entstehen 2 neue Spikes  $s(p, v), s(v, q)$

Grenzen von  $P(p, v, q)$  laufen entlang  $s(p, v), s(v, q)$

## 2. circle event (spike-Ereignis)

Wellenstück  $P(p, q, r)$  aus  $W$  trifft auf den Schnittpunkt  $z$  seiner beiden Spikes  $s(p, q) = \overline{x}$  und  $s(q, r) = \overline{y}$  und verschwindet

d.h.  $L$  ist rechte Tangente an Kreis  $\odot(p, q, r)$  mit Zentrum  $z$

→  $z$  ist Voronoiknoten. Ausgabe  $z, (x, z), (y, z)$

lösche  $P(p, q, r)$  mit  $s(p, q), s(q, r)$  aus  $SSS$

lösche weitere Schnittpunkte mit  $s(p, q), s(q, r)$  aus  $ES$

berechne neuen Spike  $s(p, r)$

aktualisiere  $SSS$ -Vorgänger  $P(l, p, q)$  zu  $P(l, p, r)$

aktualisiere  $SSS$ -Nachfolger  $P(q, r, t)$  zu  $P(p, r, t)$

berechne Schnittpunkte jetzt benachbarter Spikes →  $ES$

**Bemerkung:** Zeitpunkt des Spike-Ereignis:  $z.x + |\overline{xz}|$

**Bemerkung:** Weitere Ereignisse gibt es nicht:

Solange die Spikes sich nicht schneiden und keine neuen Punkte getroffen werden, laufen die Wellenstücke ungehindert zwischen ihren Spikes weiter.

### Ereignisstruktur $ES$

enthält ( $x$ -) Koordinaten der Punkte aus  $S$

bzw. der Schnittpunkte in  $SSS$  benachbarter Spikes

und für Schnittpunkte  $z = s(p, q) \cap s(q, r)$ :

Verweis auf Wellenstück  $P(p, q, r)$  in  $SSS$

Operationen: *deletemin*, *insert*, *delete*, *empty*

→ priority queue, z.B. als bal. binärer Suchbaum

### Sweep-Status-Struktur $SSS$

Operationen: *insert*, *delete*, *lookup*

für Wellenstücke  $P$  nach  $y$ -Koordinaten

→ in Zeit  $O(\log |SSS|)$  z.B. bei bal. bin. Suchbaum

### Der Algorithmus:

initialisiere  $SSS$ ,  $ES$

$x$ -sortiere die  $p \in S$ , füge in  $ES$  als site events ein

**while** !  $ES.empty()$  **do**

$E \leftarrow ES.deletemin()$ ;                   // get next event

    Fall 1:  $E$  ist Punkt-Ereignis: ... (s.o.)

    Fall 2:  $E$  ist Spike-Ereignis: ... (s.o.)

**od**;

**for** alle in  $SSS$  verbliebenen Wellenstücke  $P(p, q, r)$ :

    Ausgabe  $s(p, q)$ ,  $s(q, r)$  als einseitig unbeschränkte Voronoikanten



## Komplexität des Algorithmus:

$|SSS| = O(n)$  s.o.

$|ES| = O(n)$  falls nur Schnittpunkte auf  $W$  benachbarter Spikes in  $ES$  gehalten werden

→ je Ereignisbearbeitung Zeit  $O(\log n)$

$\exists O(n)$  viele Ereignisse, da jedes  $\geq 1$  Voronoiknoten/-kante ergibt

→ gesamt Zeit  $O(n \log n)$

(Keßler 1998)

⇒

Satz:

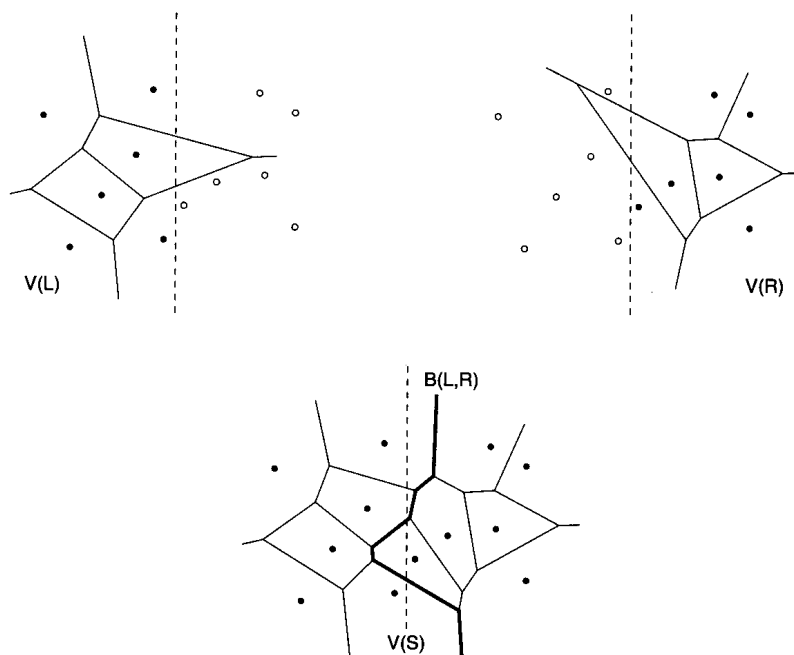
Das Voronoi-Diagramm von  $n$  Punkten in der Ebene lässt sich mit dem Sweep-Verfahren im *worst case* in der Zeit  $O(n \log n)$  und mit linearem Speicherplatz berechnen, und das ist optimal.

Dieses Sweep-Verfahren hat den Namen "*Fortune's Sweep*".

Bemerkung:

Mit größenordnungsmäßig ebenso günstigem Aufwand lässt sich das VD auch mit dem *divide-and-conquer*-Ansatz bestimmen (Shamos 1975).

Prinzip: Teilung der Punktmenge in 2 Teilmengen längs einer Splitgeraden, Mischen der beiden VD der Teilmengen (s. Klein 1997).



## Verallgemeinerungen des Voronoi-Diagramms

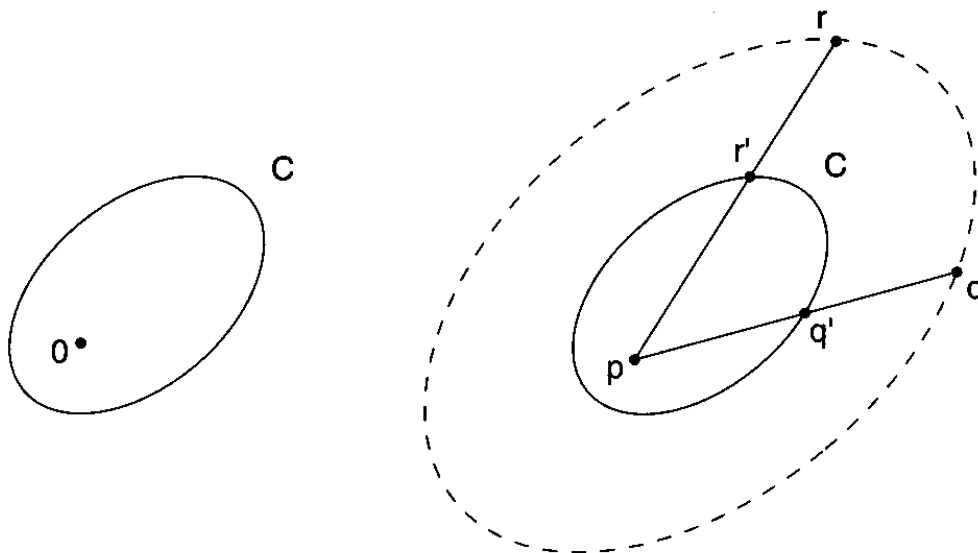
### Zugrundelegung anderer Distanzfunktionen

- Metriken  $d_k$  (vgl. Kap. 2.7), insbes. Manhattan-Distanz  $d_1$
- nochmalige Verallgemeinerung: *konvexe Distanzfunktionen*

Sei  $C$  eine kompakte, konvexe Menge in der Ebene, die den Nullpunkt im Inneren enthält ( $0 =$  "Zentrum" von  $C$ ).

Abstand von  $p$  nach  $q$ :

- verschiebe  $C$  um den Vektor  $p$  (dann wird  $p$  zum Zentrum)
- bilde Strahl von  $p$  durch  $q$
- dieser schneidet den Rand von  $C$  in genau einem Punkt  $q'$
- setze  $d_C(p, q) = |pq| / |pq'| =$  Faktor, um den die nach  $p$  verschobene Kopie von  $C$  skaliert werden müsste, damit ihr Rand den Punkt  $q$  enthält
- zusätzlich sei  $d_C(p, p) = 0$ .



$d_C$  heißt konvexe Distanzfunktion, erfüllt pos. Definitheit und Dreiecksungleichung. Symmetrie erfüllt  $\Leftrightarrow C$  symmetrisch zum Nullpunkt.

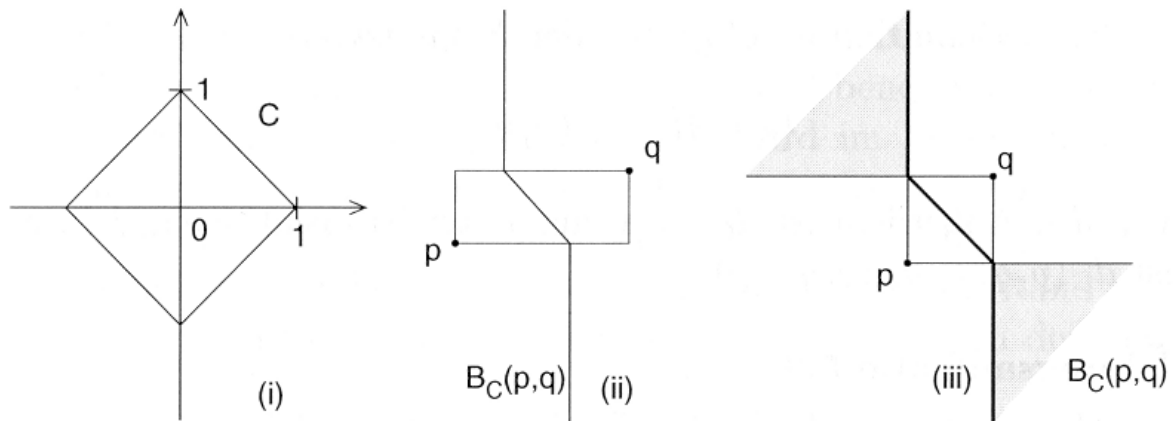
Der Einheitskreis von  $d_C$ , d.h.  $\{x \mid d_C(x, 0) \leq 1\}$ , ist  $C$ .

$d_C$  ist translationsinvariant.

$d_k$ -Metriken sind Spezialfälle von  $d_C$ .

Definition des *Bisektors* zweier Punkte bzgl.  $d_C$  :  
 analog zum euklidischen Fall (Menge aller Punkte mit gleichem  
 Abstand zu beiden Punkten)

Einheitskreis (i) und Bisektoren (ii, iii) der Manhattan-Metrik:



Der "pathologische Fall" des flächigen Bisektors (iii) kann nur  
 auftreten, wenn der Einheitskreis  $C$  stellenweise abgeplattet ist  
 (Geradenstücke in seinem Rand enthält)

Def.:  $C$  streng konvex  $\Leftrightarrow \partial C$  enthält kein Geradenstück

für kompakte, streng konvexe Mengen  $C$  in der Ebene mit dem  
 Nullpunkt im Inneren ist jeder Bisektor bzgl.  $d_C$  homöomorph zu  
 einer Geraden.

(Beweis: s. Klein 1997, S. 243 f.)

Voronoi-Region von  $p$  in einer Punktmenge  $S$  bzgl.  $d_C$  :  
 Schnitt aller offenen Gebiete, die vom Bisektor zwischen  $p$  und  
 $q$  begrenzt werden und  $p$  enthalten, wobei  $q$  alle Punkte aus  
 $S \setminus \{p\}$  durchläuft. (= analog zum euklidischen Fall)

Achtung: verallgemeinerte Voronoi-Regionen sind i.allg. nicht  
 konvex (da die Bisektoren keine Geraden sind).

Aber es gilt:

Jede Voronoi-Region bzgl.  $d_C$ ,  $C$  streng konvex, ist sternförmig  
 und enthält  $p$  in ihrem Kern.

( $\Rightarrow$  sie ist insbesondere zusammenhängend.)

(Beweis: s. Klein 1997, S. 245.)

Ferner gilt wie im euklidischen Fall:  
 Zwei Voronoi-Regionen bzgl. derselben Punktmenge  $S$  und derselben streng konvexen Distanzfunktion haben höchstens eine gemeinsame Voronoi-Kante.

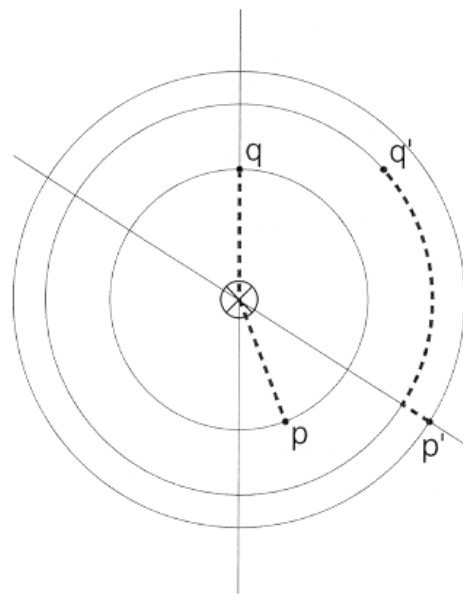
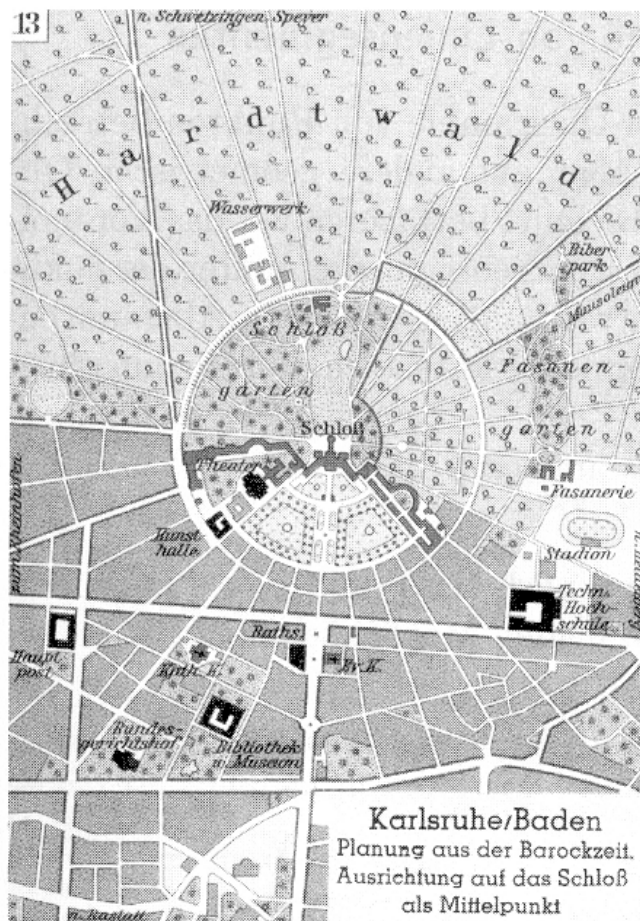
(Beweis: s. Klein 1997, S. 247 f.)

Es gibt andere Metriken, die nicht als konvexe Distanzfunktionen dargestellt werden können.

Beispiel:

die Karlsruhe-Metrik

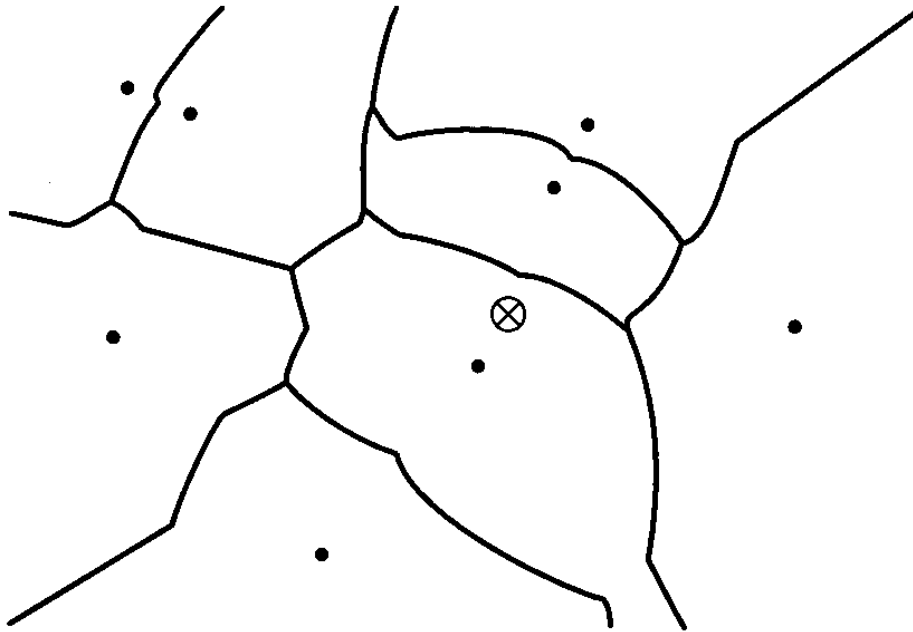
(Entfernung im Straßensystem von Karlsruhe):



(aus Klein 1997)

die Karlsruhe-Metrik ist nicht translationsinvariant  
 (siehe Abb. rechts:  $d(p', q') \neq d(p, q)$  )

Ein Voronoi-Diagramm von 8 Punkten in der Karlsruhe-Metrik:



### *Voronoi-Diagramme k-ter Ordnung*

Sei  $S$  Punktmenge und  $B \subseteq S$ .

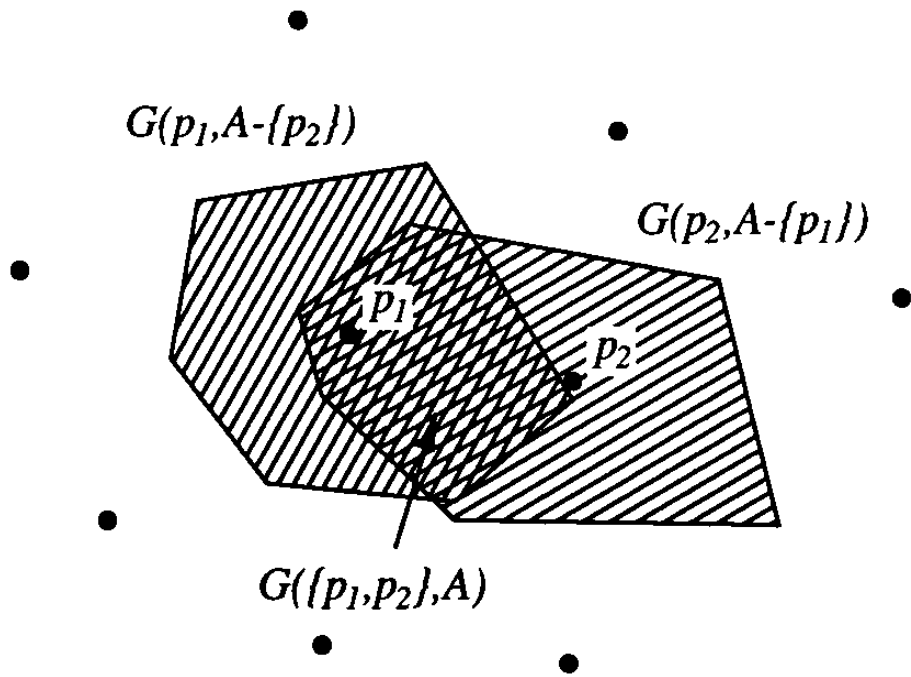
Voronoi-Region  $VR(B) =$  Menge aller Punkte, die *jedem* Punkt in  $B$  näher liegen als einem Punkt in  $S \setminus B$ .

Sei  $|B| = k$ , dann spricht man von VR der *Ordnung*  $k$ .

Für einelementiges  $B$ : herkömmliche VR.

Eine VR 2. Ordnung kann aus VR erster Ordnung konstruiert werden:

$$VR(\{p_1, p_2\}, S) = VR(p_1, S \setminus \{p_2\}) \cap VR(p_2, S \setminus \{p_1\}).$$

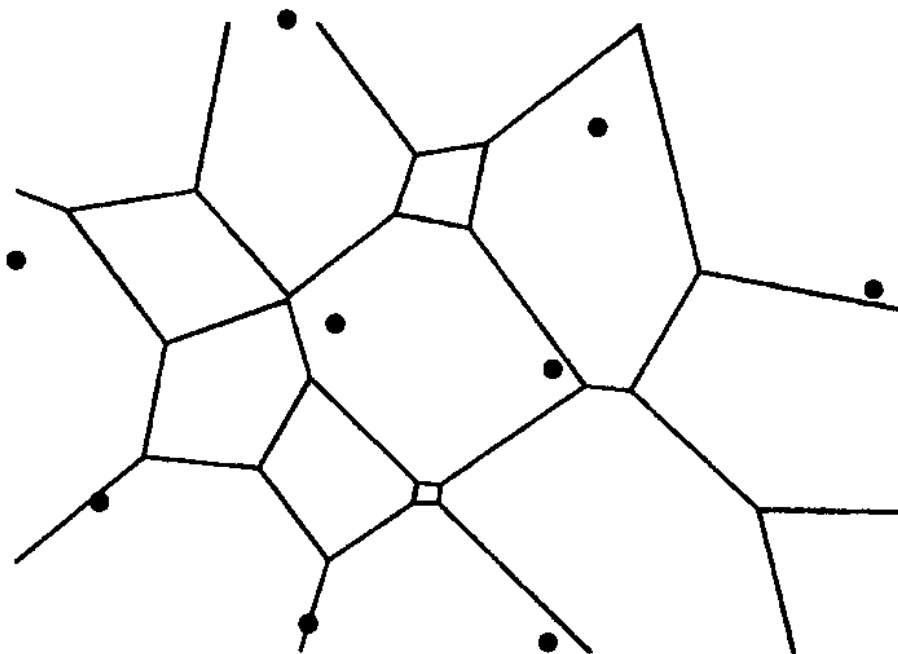


(VR heißt hier  $G$ ,  $S$  heißt  $A$ )

(aus Schmitt, Deussen & Kreeb 1996)

Alle Punkte in der doppelt schraffierten Fläche liegen näher zu  $p_1$  und  $p_2$  als zu irgendeinem anderen Punkt aus  $S$ .

Beispiel für ein Voronoi-Diagramm 2. Ordnung zu einer Punktmenge:



(aus Schmitt, Deussen & Kreeb 1996)

## Das Power-Diagramm

"Power-Distanz" eines Punktes  $x$  zu einem Kreis (bzw. einer Kugel)  $B_{c,p}$  (mit Mittelpunkt  $c$  und Radius  $p$ ):

$$d_{\text{pow}}(x, B_{c,p}) = d^2(x, c) - p^2$$

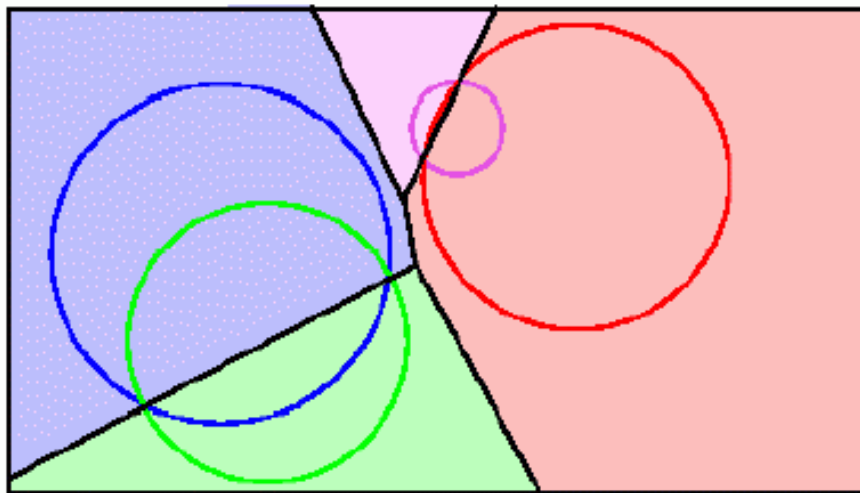
- $x$  im Inneren von  $B_{c,p}$ : Power-Distanz negativ
- $x$  im Äußeren von  $B_{c,p}$ : Power-Distanz positiv

keine Metrik im math. strengen Sinne

Power-Diagramm:

gegeben: Menge  $S$  von *gewichteten* Punkten  $(c, p^2)$   
- ein Punkt  $c$  mit Gewicht  $p^2$  wird durch einen Kreis  $B_{c,p}$   
mit Mittelpunkt  $c$  und Radius  $p$  dargestellt

jede Zelle eines Punktes  $(c, p^2)$  des Power-Diagramms besteht aus allen Punkten der Ebene (bzw. des Raumes), für die  $B_{c,p}$  nächster Nachbar bzgl. der Power-Distanz ist.



Power-Diagramm von 4 gewichteten Punkten

⇒ "gewichtete Form" des VD

Anwendung:

Rekonstruktion von Oberflächen aus 3D-Punktwolken (z.B. Laserscannerdaten)

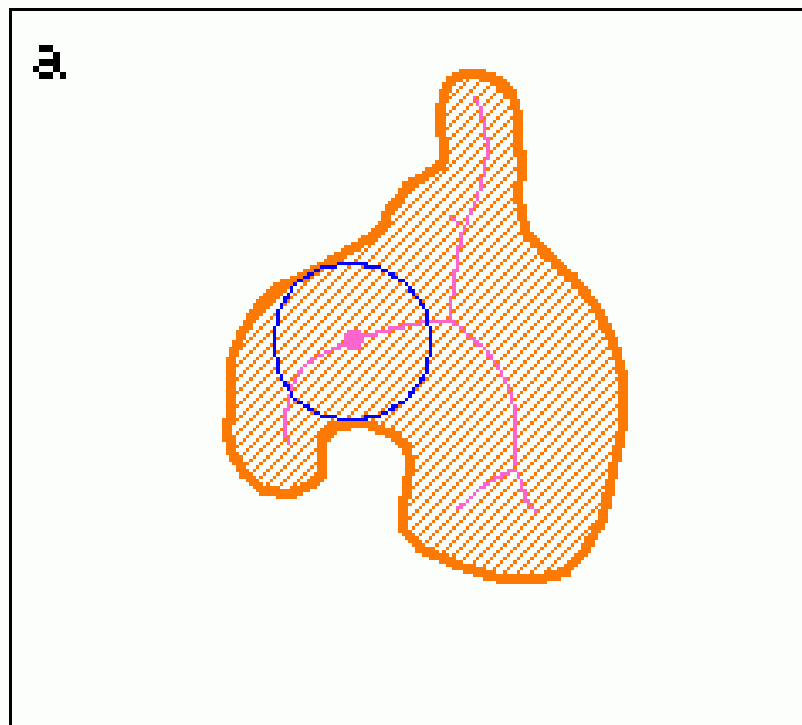
"Power Crust"-Verfahren von Amenta, Choi & Kolluri (2001)

siehe <http://www.cs.utexas.edu/users/amenta/powercrust>

s.a. Referat von A. Christan,

[http://www-gs.informatik.tu-cottbus.de/~wwwgs/a3d\\_christan.pdf](http://www-gs.informatik.tu-cottbus.de/~wwwgs/a3d_christan.pdf)

zusätzlich zur Oberfläche wird die Mittelachse des gescannten Objekts approximiert (Ort der Mittelpunkte aller maximalen Kugeln, die in das Objekt passen) (a)



prinzipieller Ablauf des Verfahrens:

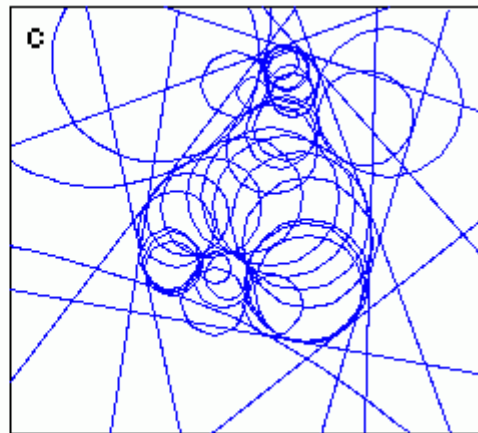
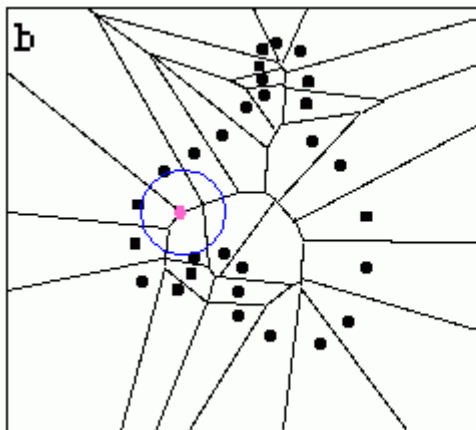
- Von der Menge  $S$  der gescannten Punkte wird das 3-D Voronoi-Diagramm konstruiert (b) (ein extremer Knoten des VD mit maximaler Kugel ist eingezeichnet)

- bei dichter Punktwolke sind die Zellen des VD lang und dünn und senkrecht zur Oberfläche orientiert

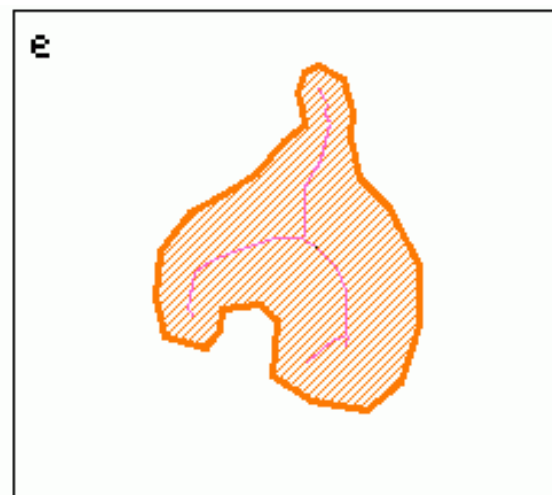
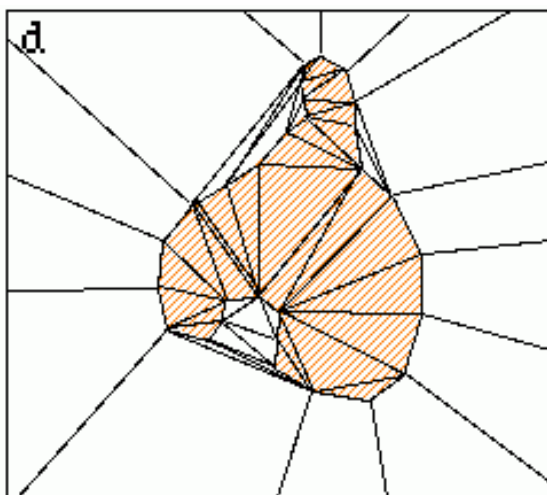
- Teilmengen der Knoten des VD: innere und äußere *Pole*  
- Pole eines Punktes  $s$ : am weitesten entfernte Voronoi-Knoten im Inneren und im Äußeren der approximierten Menge (Labelling-Algorithmus legt fest, welche Knoten des VD als "innen" und welche als "außen" angesehen werden)



Innere und äußere *Pol-Kugeln*: Kugeln um die Pole, welche die Punkte der Menge  $S$  gerade berühren (maximale Kugeln mit leerem Inneren) (c)



- die Radien der Pol-Kugeln definieren Gewichte der Pole
- die Menge der Mittelpunkte der Pol-Kugeln approximiert die Mittelachse der Menge  $S$
- Approximation der Rücktransformation von der Mittelachse zur gesuchten Menge (Objektoberfläche): durch das Power-Diagramm der gewichteten Pole (d)



zu inneren Polen gehören innere Zellen  
 $\Rightarrow$  Grenze zwischen inneren und äußeren Zellen  
 = "*power crust*" = Approximation der Oberfläche (Output)

zusätzlicher Output: Verknüpfung der inneren Pole entspr. der Nachbarschaft ihrer Power-Diagramm-Zellen = Approximation der Mittelachse des Objektes (siehe (e))

Beispiel:

links: lasergenerierte Punktwolke

Mitte: mit dem Verfahren erzeugtes polygonales Modell  
("wasserdicht")

rechts: approximierte Mittelachsenstruktur (Skelettierung)



(aus Amenta, Choi & Kolluri 2001, <http> s. oben)

## Voronoi-Diagramme von Liniensegmenten

bisher nur punktförmige Objekte zugrundegelegt  
→ Einflusszonen auch für andere Objekte denkbar

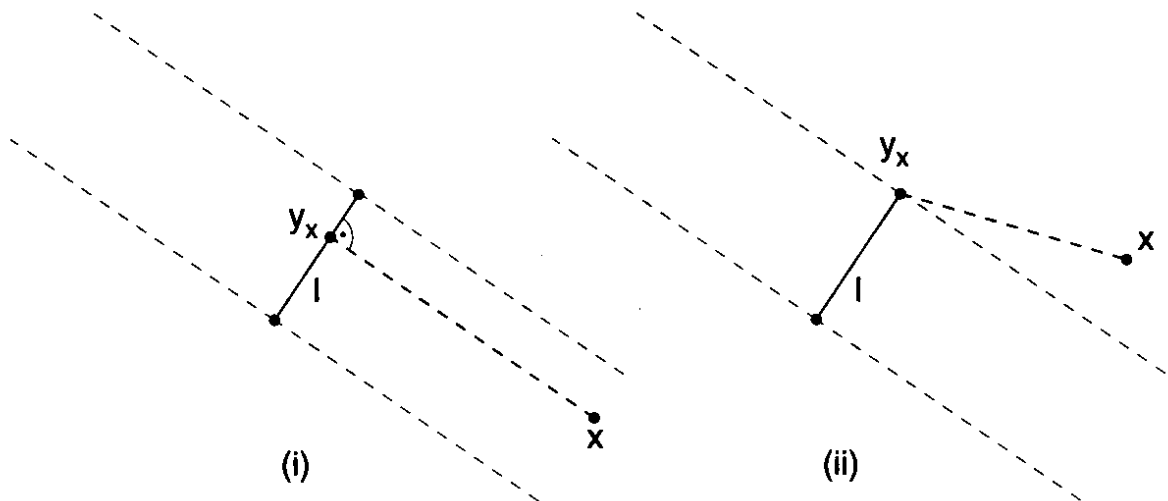
hier: *Liniensegmente* (Strecken)

Distanz sei gegeben durch die euklidische Metrik

Abstand Punkt  $x$  – Strecke  $s$ :

$$d(x, s) = \min \{ d(x, y) \mid y \in s \}$$

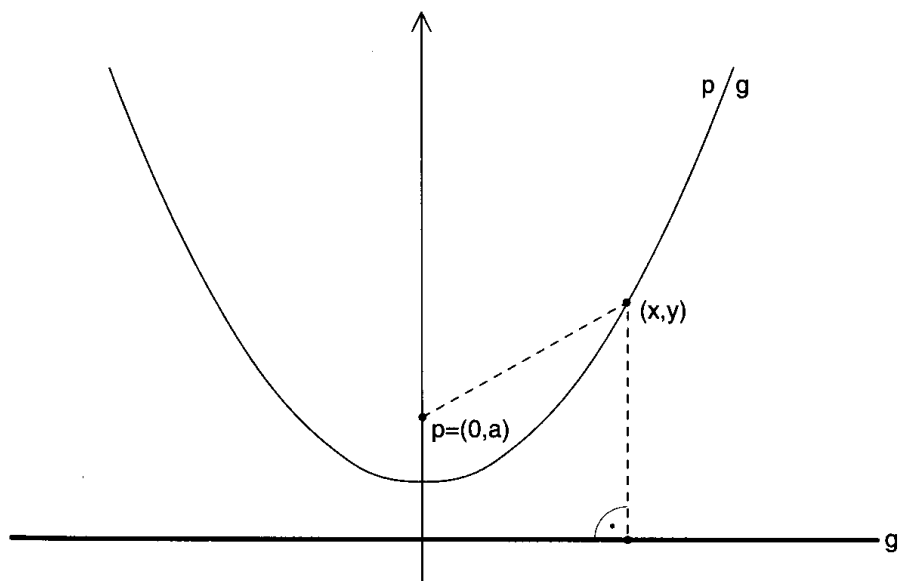
Minimum wird am  $x$  nächstgelegenen Punkt der Strecke angenommen – 2 Möglichkeiten:



Abstand Punkt – Gerade: nur Fall (i) tritt ein.

Bisektor von Punkt und Gerade:

*Parabel*

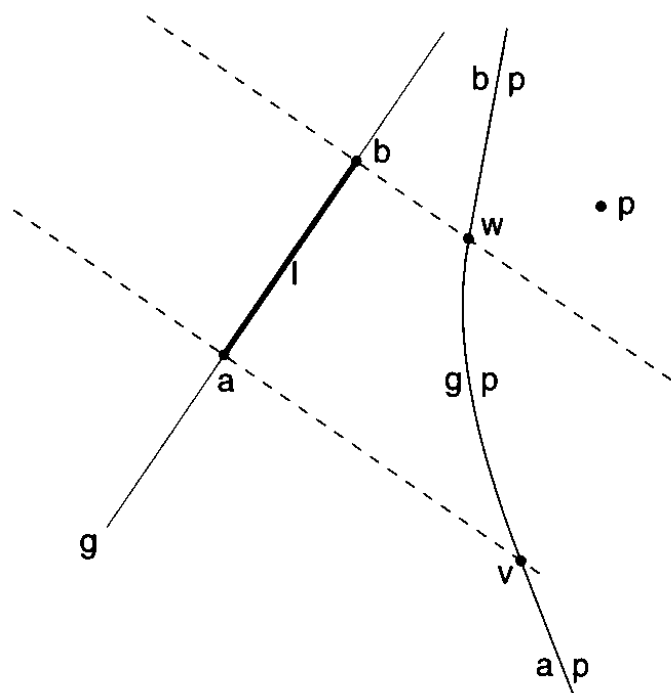


hier spezielle Lage:

$p: (0; a), g: y=0 \Rightarrow \text{Bisektor } \{ (x, y) \mid y = x^2/2a + a/2 \}.$

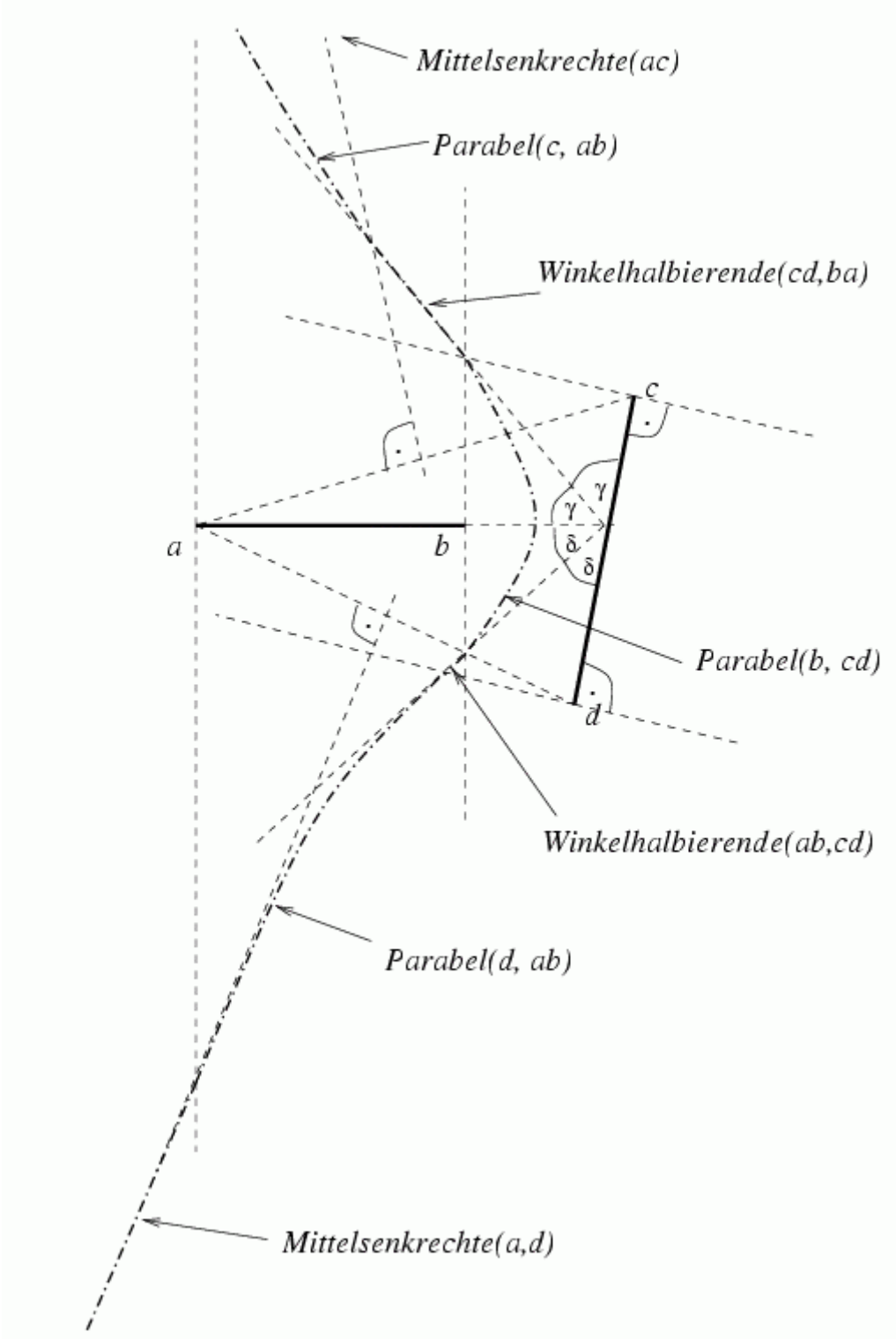
Bisektor Gerade – Gerade: Gerade (Winkelhalbierende)

Bisektor Punkt – Strecke:



1 Parabelstück und 2 Halbgeraden

Bisektor zweier Strecken:



(Keßler 1998)

Bisektor  $B(s, s')$  zweier disjunkter Liniensegmente  $s, s'$

setzt sich stetig zusammen aus max. 7 Teilstücken:

Parabeln, Winkelhalbierenden, und Mittelsenkrechten;

Analog: Halbebene  $H(s, s') = \{p \in \mathbb{R}^2 : \text{dist}(p, s) < \text{dist}(p, s')\}$

Voronoi-Region  $VR(s)$  eines Liniensegmentes  $s \in S$ :

$$VR(s) = \bigcap_{s' \in S \setminus \{s\}} H(s, s')$$

Die VR von Strecken sind in einem verallgemeinerten Sinne sternförmig:

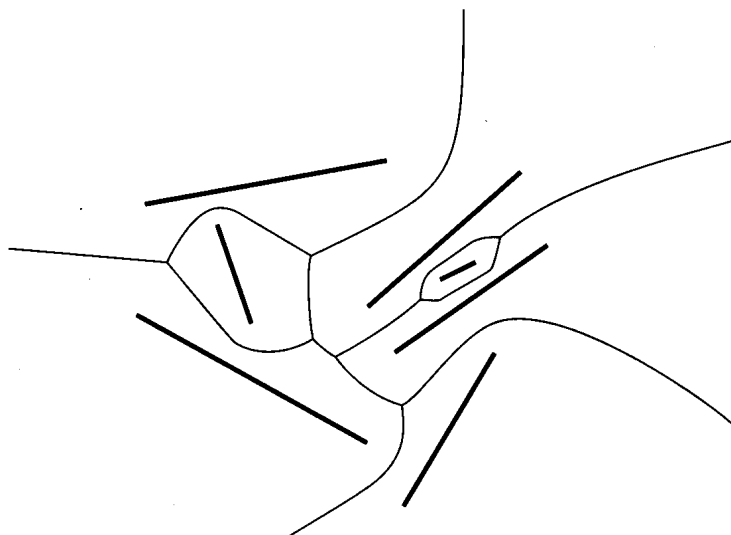
Sei  $S$  eine Menge von Strecken in der Ebene und  $s \in S$ .  
Dann enthält die Voronoi-Region  $VR(s)$  mit jedem Punkt  $x$  auch die Strecke von  $x$  zum nächsten Punkt auf  $s$ .

Beweis: s. Klein 1997.

Insbesondere folgt:  $VR(s)$  ist zusammenhängend.

- Achtung: "Halbebene"  $H(s, s')$  und  $VR(s)$  i.allg. nicht mehr konvex!
- Zwei VR können mehr als eine gemeinsame Kante haben!

Beispiel eines Voronoi-Diagramms von 7 Strecken:



(Klein 1997)

Es gilt:

- Das Voronoi-Diagramm von  $n$  disjunkten Strecken in der Ebene hat  $O(n)$  viele Knoten und Kanten.
- Jede Kante besteht aus  $O(1)$  vielen Stücken.
- Der Rand einer Voronoi-Region enthält im Mittel höchstens 6 Kanten.

(s. Klein 1997)

Berechnung: mit Plane-Sweep analog zu VD von Punkten

wobei die Sweep-Status-Struktur ( $\rightarrow$  Wellenfront) statt Parabelbögen  $P(p, q, r)$  etwas kompliziertere Strukturen aus Parabeln, Winkelhalbierenden und Mittelsenkrechten verwalten muß

$\rightarrow$  VD für  $n$  Liniensegmente kann in Zeit  $O(n \log n)$  berechnet werden.

### *Anwendung des VD von Strecken bei der Bewegungsplanung für Roboter*

- kreisförmiger Roboter (Position = Koordinaten des Mittelpunktes)
- soll von gegebenem Startpunkt zu gegebenem Zielpunkt bewegt werden
- dabei sind Hindernisse zu berücksichtigen (Liniensegmente): Zu keinem Zeitpunkt darf das Innere des Kreises eine der Strecken der Szene schneiden

scheinbar sind unendlich viele mögliche Wege zu testen

- Idee: in jeder Position die Sicherheitsabstände zu den Strecken der Szene maximieren

$\Rightarrow$  Bewegung längs der Kanten des von den Strecken der Szene definierten VD

(damit "endliches Problem")

Bewegungsplanung für Kreisscheibe  $R$  (Roboter) mit Radius  $r$  in einer Szene  $S \subset \mathbb{R}^2$  aus  $n$  Liniensegmenten (Hindernissen) vom Startpunkt  $A \in \mathbb{R}^2$  zum Ziel  $B \in \mathbb{R}^2$ .

Punkt  $x \in \mathbb{R}^2$  heißt *kollisionsfrei*  $:\Leftrightarrow \text{dist}(x, y) \geq r \forall y \in s \forall s \in S$

Bewegung = kollisionsfreier Weg  $W$  (alle Punkte in  $W$  kollisionsfrei)

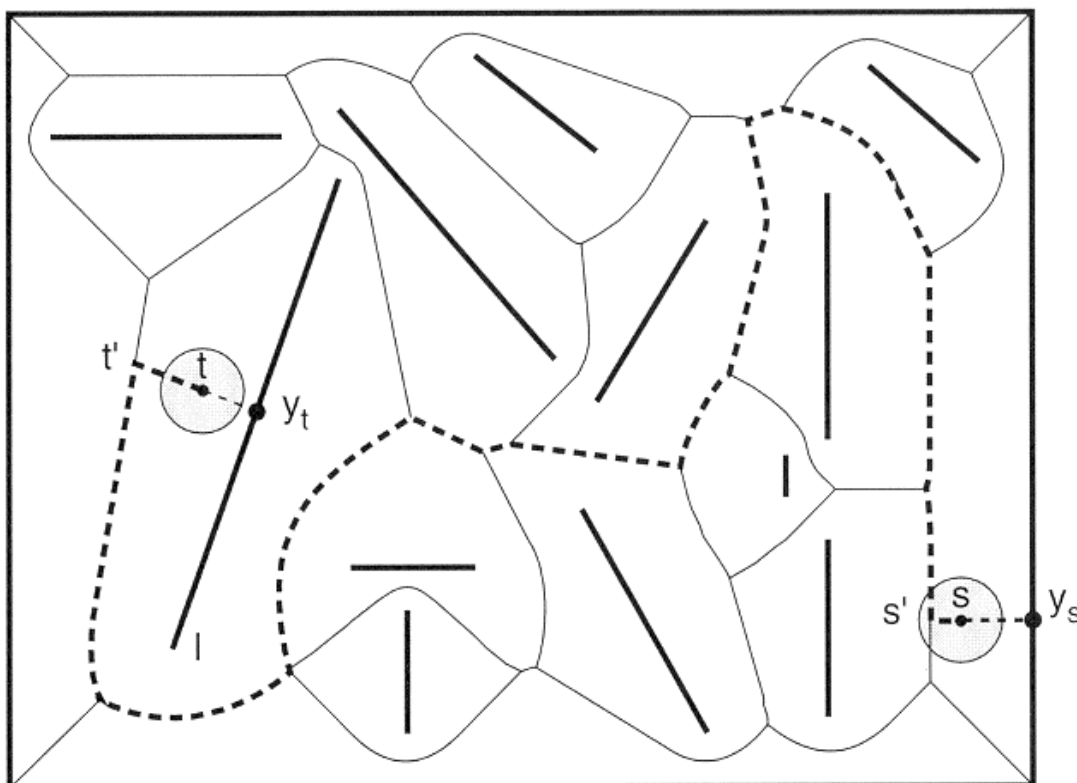
Beobachtung: Falls ein kollisionsfreier Weg von  $A$  nach  $B$  existiert,

dann existiert ein kollisionsfreier Weg über Voronoikanten

= der Weg, der maximalen Abstand zu den Segmenten einhält

präziser:

Genau dann kann sich der Roboter kollisionsfrei von  $A$  nach  $B$  bewegen, wenn sein Radius  $r$  die Abstände von  $A$  zum nächsten Punkt  $y_A$  der Szene und von  $B$  zum nächsten Punkt  $y_B$  der Szene nicht überschreitet und wenn es eine kollisionsfreie Bewegung von  $A'$  nach  $B'$  längs der Kanten des VD  $V(S)$  gibt, wobei  $A'$  der Schnittpunkt des Strahls von  $y_A$  durch  $A$  mit dem VD ist ( $B'$  analog).



(aus Klein 1997;  $A$  heißt hier  $s$ ,  $B$  heißt  $t$ .)



### Algorithmus:

- (0) Berechne  $VD(S)$   $O(n \log n)$
- (1) teste, ob  $A$  und  $B$  sichere Positionen sind  $O(n)$
- (2) Eliminiere alle (Teil-)Voronoi-Kanten (ggf. aufspalten)  $e$   
mit  $\exists x \in e: x$  nicht kollisionsfrei  $\rightarrow VD'(S)$   $O(n)$
- (3) bestimme  $VR(s)$ , in dem  $A$  liegt, analog  $VR(s')$  für  $B$   $O(\log n)$
- (4) bestimme Voronoikante  $e \subset \partial VR(s)$ , die das Lot von  $A$  auf  $s$  schneidet in Punkt  $A'$  (analog für  $B \rightarrow B'$ )  $O(n)$
- Beobachtung:  $A$  kollisionsfrei  $\rightarrow A'$  und  $\overline{AA'}$  kollisionsfrei
- (5) konstruiere kollisionsfreien Weg  $W'$  in  $VD'$  von  $A'$  nach  $B'$   
z.B. mit DFS  $O(n)$
- (6) falls ex.: Ausgabe  $W = \overline{AA'} \cup W' \cup \overline{B'B}$

Laufzeit:  $O(n \log n)$ , Platz  $O(n)$

Folgerung (vgl. Klein 1997):

Ist das Voronoi-Diagramm der  $n$  Strecken der Szene vorhanden, lässt sich für einen beliebigen Roboter-Radius  $r$  und beliebige Punkte  $A$  und  $B$  in der Zeit  $O(n)$  ein kollisionsfreier Weg von  $A$  nach  $B$  bestimmen oder aber feststellen, dass es keinen gibt.

Verallgemeinerung auf nicht kreisförmige Roboter:

- der Roboter sei nicht rotierfähig (nur Translationen erlaubt)
- die Form werde durch eine konvexe Menge  $C$  beschrieben

$\Rightarrow$  lege für das VD der Strecken die konvexe Distanzfunktion  $d_C$  zugrunde, wobei  $C'$  die Spiegelung von  $C$  am Referenzpunkt ist; Algorithmus lässt sich dann übertragen.